



PENGUKURAN SEMANTIC SIMILARITY PADA GEN PFCRT DAN DHFR BERBASIS ONTOLOGY

Dinar Munggaran Akhmad¹⁾, Siska Andriani²⁾

^{1,2}Program Studi Ilmu Komputer, Universitas Pakuan

^{1,2}Jalan Pakuan, Tegallega, Kota Bogor

Email: ¹dinar.munggaran@unpak.ac.id, ²siska.andriani@unpak.ac.id

Abstract

One of the obstacles in the treatment of malaria caused by *Plasmodium falciparum* is the existence of resistance to antimalarial drugs including chloroquine and sulfadoxine-phryrimethamine. Genes known to be resistant to chloroquine are *P. falciparum chloroquine resistance (pfcr)* while *Dihydrofolate reductase (dhfr)* is resistant to sulfadoxine-phryrimethamine. One way to trace gene information is through Gene Ontology by calculating its semantically similarity through Wang's path length approach. The value of similarity between the pfcr and dhfr genes was tested for the three components in Gene Ontology using Wang's method for Ontology documents. The results showed that the highest similarity value was in the Cellular Component of 0.565, because it has similarities in several components such as the Endoplasmic Reticulum and Cytoplasm. Thus this study is expected to provide initial information regarding resistance and can detect other genes that indicate resistance before further molecular research.

Keyword: *dhfr, gene ontology, ontology, pfcr, semantic similarity*.

Abstrak

Salah satu kendala di dalam penanganan malaria yang diakibatkan oleh *Plasmodium falciparum* adalah adanya resistensi terhadap obat *antimalarial* diantaranya *chloroquine* dan *sulfadoxine-phryrimethamine*. Gen yang diketahui resisten terhadap *chloroquine* adalah *P. falciparum chloroquine resistance(pfcrt)* sedangkan *Dihydrofolate reductase (dhfr)* resisten terhadap *sulfadoxine-phryrimethamine*. Salah satu cara untuk menelusuri informasi gen adalah melalui *Gene Ontology* dengan menghitung kemiripannya secara semantik melalui pendekatan *path length* metode Wang. Nilai kemiripan antar gen *pfcrt* dan *dhfr* diuji pada ketiga komponen dalam *Gene Ontology* dengan menggunakan metode Wang untuk dokumen *Ontology*. Hasil penelitian menunjukkan nilai kemiripan tertinggi ada pada komponen *Cellular Component* sebesar 0.565, karena memiliki kemiripan pada beberapa komponen seperti *Endoplasmic Reticulum* dan *Cytoplasm*. Dengan demikian penelitian ini diharapkan dapat memberikan informasi awal mengenai resistensi serta dapat mendeteksi gen lain yang terindikasi resistensi sebelum penelitian lebih lanjut secara molekuler.

Kata Kunci: *dhfr, gene ontology, ontology, pfcrt, semantic similarity*.

1. PENDAHULUAN

Malaria adalah penyakit yang disebabkan oleh parasit yang dipindahkan dari seorang penderita ke orang lain melalui gigitan nyamuk Anopheles yang telah terinfeksi oleh *Plasmodium*[1] [1]. Penyakit ini memiliki penularan yang tinggi di Indonesia khususnya di wilayah bagian Timur [2]. Kejadian malaria di Indonesia adalah sebesar 343.527 kasus dengan kematian sebanyak 45 orang [3]. Ada 2 jenis antimalarial yang biasa digunakan untuk pengobatan malaria falciparum yaitu chloroquine dan sulfadoxine-pyrimethamin. Salah satu penyebab tingginya angka kejadian malaria di Indonesia disebabkan karena resistensi *Plasmodium falciparum* terhadap obat antimalarial tersebut [4][5]. [6][7] Telah mengidentifikasi beberapa mutasi yang terkait dengan resistensi terhadap antimalarial chloroquine dan sulfadoxine-pyrimethamin pada 2 gen plasmodium falciparum yaitu *P. falciparum chloroquine resistance (Pfcrt)* dan *Dihydrofolate reductase (Dhfr)*. Polymorphism yang menyebabkan 2 gen resisten terhadap obat antimalarial ini memungkinkan adanya kemiripan antar gen salah satunya dalam fungsi molekul.

Penelitian dengan teknik molekuler memiliki banyak kendala di antaranya pengadaan alat dan bahan memerlukan biaya yang sangat tinggi dan waktu penggerjaan memerlukan waktu yang relatif lama. Hadirnya teknologi knowledge berbasis ontology dapat membantu peneliti ataupun orang awam untuk memperoleh informasi awal mengenai suatu gen melalui *Gene Ontology*. Proses mutasi pada GO dapat dikelompokkan ke dalam komponen *Biological Processes*,



perubahan sel dikelompokkan dalam Cellular Component serta perubahan fungsi dikelompokkan ke dalam *Molecular Function*.

Dengan cara membandingkan sekuen DNA atau protein dari individu yang berbeda-beda perubahan evolusioner pada tingkat molekuler dapat diamati, begitu hal nya dengan resistensi. Semakin banyak perbedaan yang dimiliki oleh dua sekuen, semakin jauh kekerabatan di antara mereka [7].

Untuk mengukur kemiripan antar gen di atas dapat diterapkan dengan menggunakan perhitungan kemiripan antar konsep dalam ontologi. Ada dua jenis perhitungan kemiripan semantik dalam data Ontology yaitu berbasis Information Content dan Berbasis Path [8][9][10].

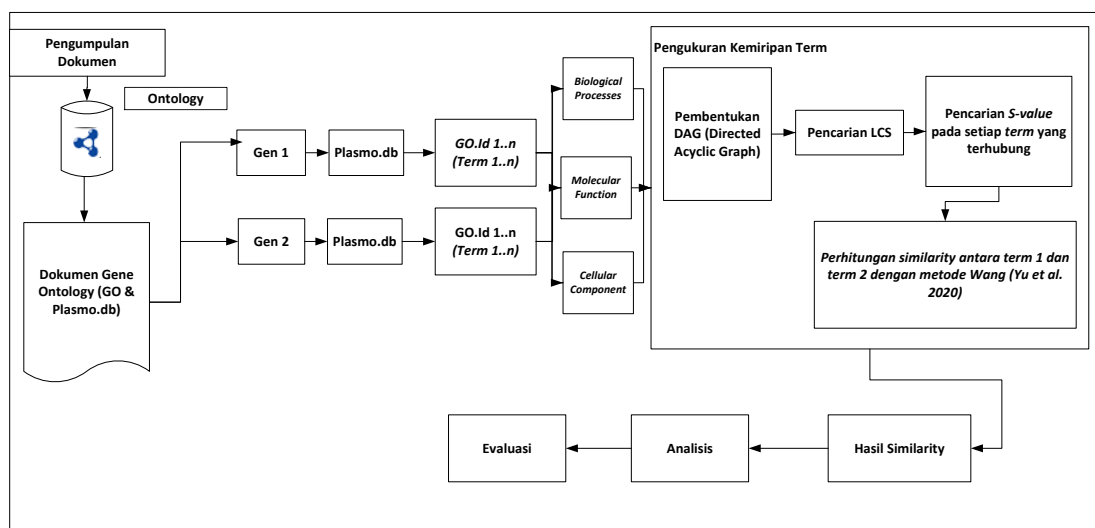
Penelitian sebelumnya pernah dilakukan oleh [11] mengukur kemiripan semantic antar 2 gen resistensi yaitu gen *pfmdr1* dan *pfcrt* terhadap *antimalarial chloroquine* pada 3 komponen *Gene Ontology*. [12] mengukur kemiripan antara 2 gen resisten antimalarial *dhfr* dan *dhps* pada 1 komponen GO *Molecular Function*. [13] Memprediksi fungsi-fungsi protein dari spesies manusia dengan memanfaatkan 3 kelompok dari GO yaitu *Molecular function*, *Cellular component* dan *Biological processes*.

Berdasarkan pemaparan di atas pengukuran kemiripan semantik banyak dilakukan untuk memprediksi fungsi dari gen-gen berbagai species salah satunya malaria. Maka pada penelitian ini akan melakukan pengukuran *Semantic Similarity* antar gen penyebab resistensi *antimalarial sulfadoxine-pyrimethamin* berdasarkan dokumen GO (*Gene Ontology*) menggunakan metode Wang berbasis *path*. Diharapkan penelitian ini dapat memudahkan untuk mengidentifikasi gen-gen lain yang terindikasi resisten.

2. METODE PENELITIAN

2.1 Metode Penelitian

Tahapan-tahapan yang dilakukan dalam penelitian ini mengacu pada Gambar 2. Tahapan dimulai dari Pengumpulan Dokumen, Pemasangan *query* gen hingga evaluasi.



Gambar 1. Metode Penelitian

1. Pengumpulan Dokumen dan Pencarian Kode Gen

Data yang dibutuhkan dalam penelitian ini adalah dokumen gene ontology. Gene ontology mencakup 3 komponen yaitu *Molecular Function*, *Biological Processes* dan *Cellular Component*. *Molecular Function* (Fungsi molekul) menggambarkan aktifitas yang terjadi pada tingkat molekuler seperti “aktifitas katalitik” atau “kegiatan mengikat”. *Biological Processes* menggambarkan serangkaian proses yang dicapai oleh satu atau lebih organisasi fungsi molekuler. *Cellular Component* menggambarkan komponen dari sel yang merupakan bagian dari objek yang lebih besar, seperti struktur anatomi (mis kasar retikulum endoplasma atau inti) atau kelompok produk gen (misalnya ribosom, proteasome atau dimer protein)(Zhao, et al. 2020).

Data selanjutnya yang dibutuhkan yaitu database gen spesies plasmodium falciparum. Pasangan gen 1 dan gen



2 yang dimaksud yaitu *pfcrt* dan *dhfr*. Kedua gen merujuk pada penelitian sebelumnya yang dilakukan oleh (Basuki, et al. 2018).

2. Perolehan Go Id

Tahap selanjutnya yaitu memperoleh GO id pada setiap gen dari database *Plasmodium falciparum*. Karena pada dasarnya setiap gen direpresentasikan oleh Go id, untuk itu sangat perlu Go id dalam penelitian ini.

3. Pembentukan Graph GO

Setelah didapatkan GO id pada masing-masing komponen *gene ontology* maka langkah selanjutnya adalah pembentukan *Directed Acyclic Graph* (DAG). DAG yang telah disusun didefinisikan memiliki hubungan dengan satu sama lain dengan relasi “*is-a*” dan “*part-of*” (Yu, 2020). Garis titik-titik menunjukkan hubungan “*part-of*” dan garis tebal menunjukkan hubungan “*is-a*”.

4. Pengukuran Kemiripan

a. Menghitung S-Value dari setiap node GO

Untuk mengukur nilai kesamaan semantik (*semantic similarity*) pada istilah GO (GO term), pertama harus merubah bentuk semantik terlebih dahulu ke dalam format numerik dikenal dengan *S-Values* (Yu, 2020) dengan Persamaan 1 sebagai berikut:

$$\begin{cases} S_A(A) = 1 \\ S_A(t) = \max\{W_e * S_A(t') | t' \in \text{childrenof}(t)\} \text{ if } t \neq A \end{cases} \quad (1)$$

Setelah menentukan *S-values* dari semua istilah dalam DAG_A , nilai semantik dihitung dari istilah A pada GO, $SV(A)$ dengan Persamaan 2:

$$SV(A) = \sum_{t \in T_A} S_A(t) \quad (2)$$

Diasumsikan bahwa faktor kontribusi semantik untuk relasi “*is-a*” dan “*part-of*” adalah 0.8 dan 0.6 oleh Wang (Yu, 2020) kemudian gunakan Persamaan 1 dan 2 untuk menghitung *S-value* pada istilah GO pada setiap DAG.

b. Pengukuran Kemiripan Node GO

Diberikan $DAG_A = (A, T_A, E_A)$ dan $DAG_B = (B, T_B, E_B)$ untuk masing-masing istilah A dan B pada GO, sehingga *semantic similarity* antara 2 istilah GO, $S_{GO}(A, B)$, didefinisikan pada Persamaan 3.

$$S_{GO}(A, B) = \frac{\sum_{t \in T_A \cap T_B} (S_A(t) + S_B(t))}{SV(A) + SV(B)} \quad (3)$$

Di mana $S_A(t)$ adalah nilai dari *S-value* dari istilah t GO yang terhubung ke istilah A dan $S_B(t)$ adalah nilai *S-value* dari istilah t yang terhubung dengan istilah B. $SV(A)$ adalah nilai semantik dari istilah / node A sedangkan $SV(B)$ adalah nilai semantik dari istilah / node B.

c. Pengukuran Kemiripan Gen

Satu gen dijelaskan oleh banyak istilah GO. Kemiripan semantik antara istilah GO dan satu set istilah GO yaitu $GO = \{go_1, go_2, \dots, go_k\}$, $\text{Sim}(go, GO)$, didefinisikan sebagai kemiripan semantik maksimum antara istilah go dan banyak istilah dalam set/kumpulan istilah GO dengan Persamaan 4.

$$\text{Sim}(go, GO) = \max_{1 \leq i \leq k} (S_{GO}(go, go_i)) \quad (4)$$

Oleh karena itu, mengingat dua gen G_1 dan G_2 dijelaskan dengan kumpulan istilah GO, $GO_1 = \{go_{11}, go_{12}, \dots, go_{1m}\}$ dan $GO_2 = \{go_{21}, go_{22}, \dots, go_{2n}\}$ maka wang et al. (2007) mendefinisikan kemiripan fungsional ke dalam Persamaan 5.

$$\text{Sim}(G_1, G_2) = \frac{\sum_{1 \leq i \leq m} \text{Sim}(go_{1i}, GO_2) + \sum_{1 \leq j \leq n} \text{Sim}(go_{2j}, GO_1)}{m+n} \quad (5)$$

5. Hasil Kemiripan



Hasil kemiripan yang diperoleh berupa nilai dengan rentang 0-1. Nilai kemiripan 1 diperoleh jika gen tersebut memiliki struktur *graph* yang sama.

6. Analisis

Analisis dilakukan berdasarkan hasil kemiripan yang telah diperoleh dan *graph* yang terbentuk. Analisis menjawab dari semua tujuan yang akan diperoleh dari penelitian ini.

7. Evaluasi

Hasil kemiripan yang diperoleh akan dianalisis serta dievaluasi dengan melihat studi literatur terkait.

3. HASIL DAN PEMBAHASAN

Dalam penelitian ini ada 2 gen dari spesies *Plasmodium Falciparum* yang menyebabkan resistensi terhadap antimalarial yaitu *P. falciparum chloroquine resistant (Pfcrt)* yang resisten terhadap *chloroquine* dan *Dihydrofolate reductase (Dhfr)* yang resisten terhadap *sulfadoxine-phirimethamin*. Dua gen tersebut akan dihitung kemiripannya secara semantik berbasis ontologi dengan metode *graph*. Berdasarkan pemaparan sebelumnya pada metodologi penelitian, 1 gen biasanya direpresentasikan oleh banyak *term* / istilah GO baik itu dalam *Molecular Function*, *Cellular Component* dan *Biological Processes*. Tabel 1 berisi informasi GO *terms* yang menjelaskan 2 gen *Pfcrt* dan *Dhfr* pada komponen GO *Molecular Function*. Tabel 1 berisi informasi GO *terms* pada komponen GO *Cellular Component* dan Tabel 2 pada komponen GO *Biological Processes*. Sesuai dengan hasil pada yang tertulis pada abstrak, maka komponen GO yang akan dibahas adalah komponen *Cellular Component* karena bentuk DAG lebih sederhana serta memperoleh nilai kemiripan paling besar dari 2 komponen lainnya.

3.1 Pencarian Kode Gen Resisten

Pasangan gen yang akan diukur kemiripannya adalah antara gen *Pfcrt* dan *Dhfr*. Kedua gen ini akan dihitung kemiripannya dalam tiga komponen *Gene Ontology* (*Molecular Function*, *Cellular Component* dan *Biological Processes*). Tahap pertama adalah mencari kode 2 gen resistensi tersebut pada layanan website <http://plasmodb.org> dengan masing-masing kode *Pfcrt* = PF3D7_0709000 dan *Dhfr* = PF3D7_0417200 .

3.2 Perolehan Go id

Setiap gen direpresentasikan oleh satu atau banyak GO id. Informasi GO id yang diperoleh terdapat pada Tabel 1.

Tabel 1. Informasi GO id pada gen *Pfcrt* dan *Dhfr*

Molecular Function

Pfcrt

GO:0015238

Drug transmembrane transporter activity

Dhfr

GO:0003723

RNA binding

GO:0004146

Dihydrofolate reductase activity

GO:0004799

Thymidylate synthase activity

Cellular Component

Pfcrt

GO:0005783

Endoplasmic Reticulum

GO:0016020

Membrane

GO:0020020

Food vacuole

Dhfr

GO:0005737

Cytoplasm



Biological Processes

Pfcrt

GO:0034635

GO:0042493

Glutathione transport

Response to drug

Dhfr

GO:0006231

GO:0006545

GO:0009165

GO:0042493

dTMP biosynthetic process

Glycine biosynthetic process

Nucleotide biosynthetic process

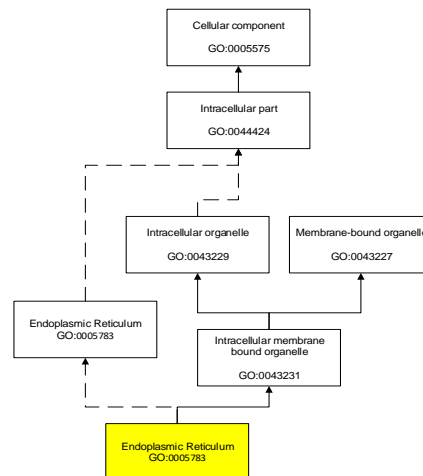
Response to drug

3.3 Pembentukan Graph GO

Cellular Component

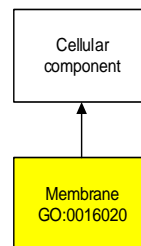
Berdasarkan Tabel 1 akan ada 4 DAG yang terbentuk dari gen *Pfcrt* dan *Dhfr* yaitu untuk GO id GO:0005783 yang terlihat pada Gambar 1, GO:0016020 pada Gambar 2, GO: 0020020 pada Gambar 3, dan GO: 0005737 pada Gambar 4.

Pembentukan DAG GO:0005783



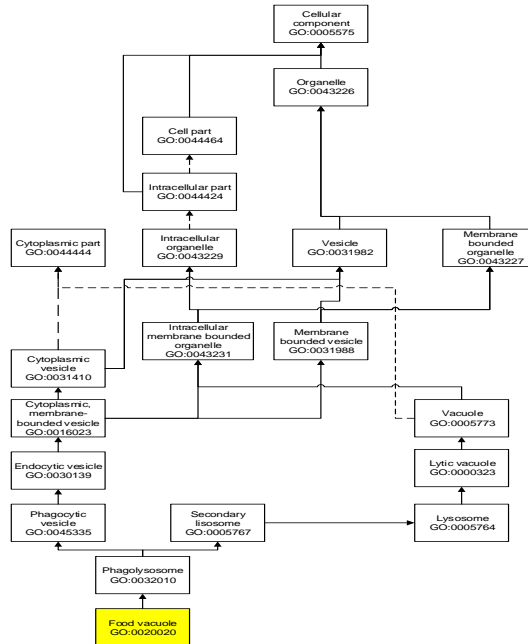
Gambar 2. DAG untuk istilah/term GO *Endoplasmic reticulum*:0005783

Pembentukan DAG GO:0016020



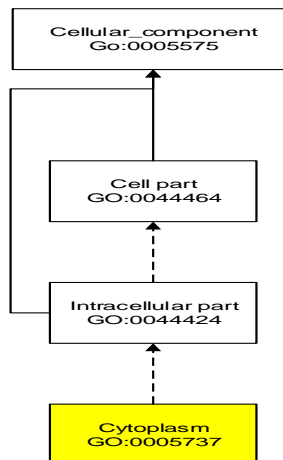
Gambar 3. DAG untuk node / term GO *membrane*:0016020

Pembentukan DAG GO:0020020



Gambar 4. DAG untuk istilah/term GO *Food vacuole*:0020020

Pembentukan DAG GO:0005737



Gambar 4. DAG untuk node / term GO *Cytoplasm*:0005737

3.4 Pengukuran Kemiripan

3.4.1 Menghitung S-values Setiap Node GO Cellular Component

Dari DAG yang terbentuk maka tahap selanjutnya adalah menghitung S-values pada masing-masing node / term dalam DAG dengan menggunakan Persamaan 1. Tabel 2 memuat S-Values untuk GO:0005783, Tabel 3 memuat S-values untuk GO:0016020, Tabel 4 memuat S-Values untuk GO:0020020 dan Tabel 5 memuat S-Values untuk GO: 0005737.

Tabel 2. S-values untuk node / term GO dalam DAG *Endoplasmic reticulum*:0005783

GO terms	GO:0005783	GO:0043231	GO:0005783	GO:0043229
S-values	1.0	0.8	0.6	0.64
GO terms	GO:0043227	GO:0044424	GO:0005575	
S-values	0.64	0.36	0.288	



Tabel 3. S-values untuk node / term GO dalam DAG Membrane:0016020

GO terms	GO:0016020	GO:0005575
S-Values	1.0	0.8

Tabel 4. S-values untuk node / term GO dalam DAG Food vacuole:0020020

GO terms	GO:0020020	GO:0032010	GO:0045335	GO:0005767
S-values	1.0	0.8	0.64	0.64
GO terms	GO:0030139	GO:0016023	GO:0031410	GO:0005764
S-values	0.512	0.41	0.33	0.512
GO terms	GO:0000323	GO:0005773	GO:0043231	GO:0031988
S-values	0.41	0.33	0.33	0.33
GO terms	GO:0044444	GO:0043229	GO:0031982	GO:0043227
S-values	0.2	0.26	0.26	0.26
GO terms	GO:0044424	GO:0044464	GO:0043226	GO:0005575
S-values	0.16	0.01	0.21	0.168

Tabel 5. S-values untuk node / term GO dalam DAG Cytoplasm:0005737

GO terms	GO:0005737	GO:0044424	GO:0044464	GO:0005575
S-values	1.0	0.6	0.36	0.48

3.4.2 Perhitungan Kemiripan Node GO pada DAG

Cellular Component

Hasil kemiripan antar gen *Pfcrt* dan *Dhfr* dalam komponen GO lainnya yaitu *Cellular Component* sebagaimana terlihat pada Tabel 6.

Tabel 6. Kemiripan antara node / term yang menganotaskan gen *Pfcrt* dan *Dhfr* pada komponen *Cellular Component*

		<i>Dhfr</i>	
		GO_ID (CC)	GO:0005737
<i>Pfcrt</i>	GO:0005783		0.565
	GO:0016020		0.234
	GO:0020020		0.39

Dengan tahapan yang sama, maka diperoleh nilai kemiripan node yang manganotaskan gen *pfcrt* dan *dhfr* pada komponen *Molecular Function* dan *Biological Processes* seperti yang terlihat pada Tabel 7 dan 8 di bawah ini:

Tabel 7. Kemiripan antara node / term yang manganotaskan gen *Pfcrt* dan *Dhfr* pada komponen *Molecular Function*

		<i>Dhfr</i>		
		GO_ID (MF)	GO:0003723	GO:0004146
<i>Pfcrt</i>	GO:0015238		0.119	0.113
				0.1

Tabel 8. Kemiripan antara node / term yang manganotaskan gen *Pfcrt* dan *Dhfr* pada komponen *Biological Processes*

		<i>Dhfr</i>		
		GO_ID (BP)	GO:0006231	GO:0006545
<i>Pfcrt</i>	GO:0034635		0.031	0.049
	GO:0042493		0.025	0.05



3.4.3 Perhitungan Kemiripan Gen

Berdasarkan tabel 6, 7 dan 8 dengan menggunakan Persamaan 4 dan 5 maka diperoleh hasil kemiripan antar gen *Pfcrt* dan *Dhfr* dalam 3 komponen GO seperti terlihat dalam Tabel 9.

Tabel 9. Kemiripan Gen pada 3 komponen GO *Cellular Component, Molecular Function* dan *Biological Processes*

<i>Gene Ontology Component</i>	<i>Gen Resistensi</i>	
	<i>pfcrt</i>	// <i>dhfr</i>
<i>Cellular component</i>		0.565
<i>Molecular function</i>		0.119
<i>Biological processes</i>		0.365

3.5 Analisis

Berdasarkan Tabel 6 nilai kemiripan terbesar yaitu 0.565 antara GO:0005783 dan GO:0005737 karena kedua id ini melewati 3 *node* yang sama. Berdasarkan Tabel 7 nilai kemiripan terbesar hanya 0.119 antara GO:0015238 dan GO:0003723, tidak ada node penghubung yang sama serta letak node induk sederajat antara GO:0005488 (*Binding*) dan GO:0005215. Berdasarkan Tabel 8 nilai kemiripan *term* terbesar dipperoleh pasangan GO:0042493 sebesar 1. Kedua gen ini memiliki DAG yang sama untuk *term* GO:0042493 (*Response to drug*). Selain itu nilai kemiripan lainnya terlihat mendekati 0 karena antar node terletak berjauhan satu sama lain.

3.6 Evaluasi

Resistensi antimikroba merupakan kemampuan mikroba seperti parasit untuk hidup meskipun terdapat agen atau suatu bahan yang secara spesifik digunakan untuk membunuh mikroba tersebut. Salah satu penyebab resistensi adalah mutasi dalam susunan gen tersebut. Mutasi pada gen *dhfr* terjadi pada perubahan dari *alanine* menuju *glycine* dalam posisi *asam amino*. Informasi ini termuat pada GO dan sesuai dengan penelitian yang telah dilakukan oleh [7], seperti pada *term* GO:0006545—*Glycine biosynthetic process (Biological Processes)* di mana mutasi pun mempengaruhi perolehan *Glycine*.

4. KESIMPULAN

Berdasarkan hasil penelitian yang diperoleh kedua gen yang diketahui memiliki sifat resistensi ternyata memiliki kemiripan dalam 3 komponen di dalam Gene Ontology yaitu *molecular function, cellular component* dan *biological processes*. Dengan demikian penelitian ini diharapkan peneliti bidang molekuler dapat menggunakan *Gene Ontology* sebagai sumber informasi awal sebelum melakukan penelitian lebih lanjut secara molekuler untuk mendeteksi gen lain yang terindikasi resistensi.

UCAPAN TERIMAKASIH

Terima kasih disampaikan kepada LPPM Universitas Pakuan yang telah mendanai penelitian ini.

DAFTAR PUSTAKA

- [1] Subaidah, W.A., Juliantoni, Y., & Hajrin W. (2021). Edukasi penyakit malaria dan pengobatan menggunakan obat herbal pasca gempa di Lombok. INDRA: Jurnal Pengabdian kepada Masyarakat, 2(2), 48-52.
- [2] Debora, J., Rinonce, H.T., Pudjohartono, M.F., Astari, P, dkk. (2018). Prevalensi malaria di Asmat, Papua: Gambaran situasi terkini di daerah endemic tinggi. Journal of Community Empowerment for Health, 1(1), 11-19.
- [3] Hanida, S.F.(2018). Potensi Tinggi Faktor Lingkungan Fisik dan Biologis terjadinya Penularan Malaria di Wilayah Kerja Puskesmas Pandean Trenggalek. Jurnal Kesehatan Lingkungan, 10(1), 82-91.
- [4] Hakam, A., Puspitasari, C. E., & Hasina, R. (2022). Studi pola penggunaan obat antimalaria di Kabupaten Lombok Barat Nusa Tenggara Barat tahun 2018. *Journal of Pharmacy Practice and Development*, 1(1), 1-6.



- [5] Wijayanti, S. E., & Chaerunisaa, A. Y. (2019). Tanaman Herbal Berkhasiat Sebagai Obat Antimalaria. *Farmaka*, 17(2), 94-104.
- [6] Lubis, I. N. (2018). *Molecular epidemiology of Plasmodium spp. in North Sumatera, Indonesia, and the efficacy of dihydroartemisinin-piperaquine and artemetherlumefantrine for treatment of clinical malaria* (Doctoral dissertation, London School of Hygiene & Tropical Medicine).
- [7] Basuki, S., Risamasu, P. M., Ariami, P., Riyanto, S., Hidayat, A., Susilowati, D., ... & Uemura, H. (2018). Origins and spread of novel genetic variants of sulfadoxine–pyrimethamine resistance in Plasmodium falciparum isolates in Indonesia. *Malaria Journal*, 17(1), 1-14.
- [8] Milano, M., Agapito, G., Guzzi, P. H., & Cannataro, M. (2018). An experimental study of information content measurement of gene ontology terms. *International Journal of Machine Learning and Cybernetics*, 9(3), 427-439.
- [9] Pouriyeh, S., Allahyari, M., Liu, Q., Cheng, G., Arbabnia, H. R., Atzori, M., ... & Kochut, K. (2019). Ontology summarization: Graph-based methods and beyond. *International journal of Semantic Computing*, 13(02), 259-283.
- [10]. Yu, G. (2020). Gene ontology semantic similarity analysis using GOSemSim. In *Stem Cell Transcriptional Networks* (pp. 207-215). Humana, New York, NY.
- [11] Akhmad, D. M., Herdiyeni, Y., & Sudarnika, E. 2018. *Similarities of Antimalarial Resistance Genes in Plasmodium Falciparum Based on Ontology*. *Telkomnika*, 16(1), 415-423.
- [12] Akhmad, D. M. (2020). PENGUKURAN KEMIRIPAN SEMANTIK BERBASIS GRAPH PADA GENE ONTOLOGY. *Computatio: Journal of Computer Science and Information Systems*, 4(2), 102-111.
- [13] Zhao, Y., Wang, J., Chen, J., Zhang, X., Guo, M., & Yu, G. (2020). A literature review of gene function prediction by modeling gene ontology. *Frontiers in genetics*, 11, 400.
- [14] Consortium GO. 2015. Gene ontology consortium: going forward. *Nucleic acids research*. 43:D1049-D1056.